

Datum	Zeit	Zustand der Bilder	$\log D \sin 1''$ und C	Erhebung über β^n in Zollen	$\log D \sin 1''$ und C	Refraction	Erhebung über β^n in Zollen	Refraktion	Relative Erhebung $p^n + P^n$	Mittel mit dem gehörigen Gewichte	Erhebung über dem Asowischen Meere	Augenommener Refl. Coeff.
1836												
21. Nov.	3 ^h 17'	f. r.	9,9330	- 26,0	+ 18,5	9,9430	+ 212,4	+ 19,5	+ 237,5	+ 1159,4	+ 0,45	0,50
						149,0						0,00
												0,00
1837	7/11/	3 42	min.	P ⁹	38	322000	53139	- 52			- 0,03	
25. Nov.	2 55	r.	9,9633	+ 324,5	+ 12,9	0,0572	+ 2416,6	+ 19,7	+ 2085,3	+ 3241,2	+ 0,09	0,02
	3 36	r.	155,7	+ 326,7	+ 12,9	193,5	+ 2414,7	+ 19,7	+ 2078,2	+ 1091,3	+ 0,09	0,09
1837	1/11/	3 31	unr.	P ¹⁰	0,7	9,5302	- 779,3	- 0,5	- 1903,9	- 1898,5	- 0,03	
6. April	3 0	r.	9,3979	- 592,3	+ 0,8	9,6454	+ 708,4	+ 2,5	+ 1299,0	+ 1342,7	+ 0,09	
			42,3			74,9						
7. April	4 57	r.	9,69254	- 84,0	+ 3,7	9,77257	+ 571,9	+ 5,3	+ 644,3	+ 3284,0	+ 0,09	0,07
	5 36	r.	83,4	- 68,9	+ 3,7	100,4	+ 575,7	+ 5,3	+ 642,9	+ 1091,3	+ 0,09	0,09
8. April	4 20	unr.	9,78272	+ 80,1	- 4,3	9,87371	+ 50,8	- 6,5	- 27,1	- 42,6	3241,4	0,07
	5 8	r.	102,7	+ 100,4	+ 5,5	126,6	+ 61,8	+ 8,5	+ 41,7	+ 47,4		0,09
	5 57	r.		+ 110,2	+ 5,5		+ 65,2	+ 8,5	+ 47,4			0,09
10. April	3 48	st. unr. — unr.	9,75762	+ 1045,0	- 6,6	9,89829	+ 1074,8	- 3,2	+ 26,4	+ 9,5	- 0,42	- 0,03
	4 38	unr. — f. r.	97,0	+ 1058,2	- 1,7	134,0	+ 1077,5	+ 2,1	+ 15,5	+ 8,5	- 0,03	+ 0,02
	5 28	f. r. — r.		+ 1061,8	+ 0,8		+ 1079,1	+ 9,6	+ 1091,3	+ 9,6	+ 0,02	+ 0,09
	6 16	f. r. — r.		+ 1087,4	+ 8,4					+ 2,7	+ 0,45	+ 0,09

Datum	Zeit	Zustand der Bilder	$\log D \sin A''$ und C	Erhebung über β^n in Zollen	$\log D \sin A''$ und C	Erhebung über β^n in Zollen	Refraction	Relative Erhebung $P^n + P^n_{n+1}$	Mittel mit dem gehörigen Gewichte	Erhebung über dem Asowschen Meere	Angenommener Refr. Coeff.
1837			P^{22}								
22. April	3 ^h 47'	f. r.	9,78131	+ 391,7	+ 0,6	9,40376	- 99,3	+ 0,1	- 490,5	+ 0,01	
	4 37	r.	102,5	+ 393,3	+ 5,6	43,0	- 97,5	+ 1,0	- 486,2	+ 0,09	
	5 27	schw. unr.		+ 401,0	+ 12,4		- 88,6	+ 2,1	- 479,3	+ 0,20	
			P^{23}								
24. April	4 37	f. r.	9,71640	+ 646,5	+ 0,5	0,04490	- 268,3	+ 2,0	- 916,3	+ 0,01	
	5 27	r.	88,3	+ 665,6	+ 4,2	186,6	- 257,9	+ 18,5	- 937,8	+ 0,09	
	6 9	f. r.		+ 683,5	+ 6,9		- 246,0	+ 30,8	- 953,4	+ 0,15	
			P^{24}								
25. April	4 37	st. unr.	9,92560	+ 109,4	- 14,4	9,93765	+ 642,4	- 15,3	+ 533,6	- 0,12	
	5 27	r.	142,8	+ 135,3	+ 10,7	146,8	+ 657,4	+ 11,4	+ 521,4	+ 0,09	
			P^{25}								
27. April	3 47	f. r.	9,77700	+ 85,0	+ 1,2	9,78682	+ 505,1	+ 1,2	+ 420,4	+ 0,02	
	5 27	schw. unr.	101,5	+ 66,0	- 0,6	103,8	+ 500,1	- 0,6	+ 434,2	- 0,01	
	6 9	r.		+ 82,0	+ 5,5		+ 507,4	+ 5,7	+ 425,5	+ 0,09	
			P^{26}								
29. April	3 50	r.	9,71020	- 455,4	+ 4,0	9,72632	+ 673,8	+ 4,3	+ 1428,6	+ 0,09	
	4 40	r.	87,0	- 455,0	+ 4,0	90,3	+ 679,8	+ 4,3	+ 1434,5	+ 0,09	
	5 30	r.		- 450,9	+ 4,0		+ 683,6	+ 4,3	+ 1434,2	+ 0,09	
			P^{27}								
2. Mai	3 47	r.	9,82002	+ 1130,5	+ 6,7	9,79850	- 344,5	+ 6,0	- 1474,3	+ 0,09	
	4 37	r.	112,1	+ 1135,5	+ 6,7	106,6	- 343,7	+ 6,0	- 1478,5	+ 0,09	
	5 27	r.		+ 1141,0	+ 6,7		- 344,5	+ 6,0	- 1481,8	+ 0,09	
			P^{28}								

45

Datum	Zeit	Zustand der Bilder	$\log D \sin A''$ und C	Erhebung über β'' in Zollen	Refraction in Zollen	$\log D \sin C''$ und C	Erhebung über β'' in Zollen	Refraction in Zollen	Relative Erhebung $P''+1 - P''$	Mittel mit dem gehörigen Gewichte	Erhebung über dem Asowischen Meere	Angenommener Refr. Coeff.
P^{28}												
1837												
5. Mai	3 ^h 47'	st. unr.	9,96550	+ 547,5	- 17,3	9,91825	+ 74,8	- 14,0	- 476,0			- 0,42
	4 37	f. r.	156, ³	+ 574,5	+ 1,4	140, ²	+ 80,9	+ 1,2	- 493,5			+ 0,01
	5 27	r.		+ 623,4	+ 13,0		+ 102,5	+ 10,4	- 518,0	- 513,8	2986, ⁴	+ 0,09
	6 9	f. r.		+ 655,6	+ 21,5		+ 142,4	+ 17,4	- 539,4			+ 0,15
P^{29}												
6. Mai	3 47	r.	9,86471	+ 1054,5	+ 8,2	9,79180	+ 698,8	+ 5,8	- 353,3			+ 0,09
	4 37	r.	123,9	+ 1058,7	+ 8,2	104,8	+ 703,8	+ 5,8	- 352,7	- 354,3	2632, ¹	+ 0,09
	5 27	r.		+ 1058,3	+ 8,2		+ 699,1	+ 5,8	- 357,0			+ 0,09
P^{30}												
8. Mai	3 47	r.	9,74764	+ 116,5	+ 4,8	9,90790	- 126,5	+ 9,9	- 248,1			+ 0,09
	4 37	r.	94,9	+ 115,8	+ 4,8	137,2	- 125,6	+ 9,9	- 246,5	- 245,9	2386,2	+ 0,09
	5 27	r.		+ 116,4	+ 4,8		- 121,7	+ 9,9	- 243,1			+ 0,09
P^{31}												
9. Mai	3 47	r.	9,70830	+ 158,7	+ 4,0	9,70900	+ 134,5	+ 4,0	- 24,2			+ 0,09
	4 37	r.	86,7	+ 160,8	+ 4,0	86,8	+ 136,7	+ 4,0	- 24,1	- 24,0	2362,2	+ 0,09
	5 27	r.		+ 162,8	+ 4,0		+ 139,4	+ 4,0	- 23,7			+ 0,09
P^{32}												
10. Mai	3 47	st. unr.	9,76490	+ 232,6	- 6,9	9,82005	+ 273,5	- 8,8	+ 44,8			- 0,42
	4 37	f. r.	98,8	+ 239,1	+ 0,5	112,1	+ 296,9	+ 0,7	+ 57,6			+ 0,01
	5 27	r.		+ 249,4	+ 5,2		+ 316,6	+ 6,7	+ 65,7	+ 63,4	2425,6	+ 0,09
	6 4	f. r.		+ 251,0	+ 8,6		+ 325,3	+ 11,0	+ 71,9			+ 0,15
P^{33}												
11. Mai	3 47	f. r. — st. unr.	9,81950	+ 166,7	+ 0,8	9,81480	+ 266,2	- 8,7	+ 109,0			+ 0,01 - 0,12
1838	4 37	r. — f. r.	111,9	+ 171,0	+ 6,6	110,7	+ 275,3	+ 0,8	+ 109,1	+ 106,3	2531,9	+ 0,09 + 0,01
	5 27	r.		+ 174,5	+ 6,6		+ 277,8	+ 6,6	+ 103,3			+ 0,09

Datum	Zeit	Zustand der Elder	$\log D \sin A''$ und C	Erhebung über β_n in Zollen	$\log D \sin A''$ und C	Refraction in Zollen	Refraction über β_n in Zollen	Refraction in Zollen	Mittel mit dem gehörigen Gewichte	Erhebung über dem Asowschen Meere	Angenommener Refr. Coeff.
1837											
13. Mai	3 ^h 47'	f. r.	9,92130	+ 16,4	+ 4,1	9,51980	+ 384,2	+ 0,2	+ 368,7	+ 0,01	
	4 37	r.	141,6	+ 23,9	+ 10,6	56,2	+ 386,5	+ 1,6	+ 371,6	+ 0,09	
	5 27	r.		+ 47,0	+ 10,6		+ 393,5	+ 1,6	+ 355,5	+ 0,09	
	6 9	f. r.		+ 80,3	+ 17,6		+ 398,7	+ 2,7	+ 333,3	+ 0,15	
14. Mai	3 47	unr.	0,03782	- 646,3	- 6,0	0,00763	+ 1859,3	- 5,2	+ 2504,6	- 0,03	
	4 37	r.	185,2	- 642,5	+ 18,2	172,7	+ 1875,9	+ 15,8	+ 2520,8	+ 0,09	
	5 27	r.		- 627,3	+ 18,2		+ 1909,1	+ 15,8	+ 2338,8	+ 0,09	
	6 9	f. r.		- 611,1	+ 30,3		+ 1918,2	+ 26,4	+ 2533,2	+ 0,15	
16. Mai	3 47	f. r.	9,99800	+ 924,2	+ 1,7	9,91691	+ 496,9	+ 1,1	- 426,7	+ 0,01	
	4 37	f. r.	168,8	+ 940,0	+ 1,7	140,1	+ 496,9	+ 1,1	- 442,5	+ 0,01	
	5 27	f. r.		+ 955,4	+ 25,3		+ 498,1	+ 17,3	- 449,3	+ 0,15	
	6 9	r.		+ 945,7	+ 15,4		+ 508,4	+ 10,3	- 432,5	+ 0,09	
17. Mai	4 37	f. r. — unr.	9,91757	+ 429,3	+ 1,1	0,00625	+ 1166,5	- 5,2	+ 743,5	+ 0,01	- 0,03
	5 27	f. r. — unr.	140,3	+ 430,6	+ 1,1	172,0	+ 1173,9	- 5,2	+ 749,6	+ 0,01	- 0,03
	6 9	r.		+ 441,2	+ 10,1		+ 1227,3	+ 15,7	+ 780,5	+ 0,09	
18. Mai	3 47	f. r.	0,02644	- 242,8	+ 1,8	0,01105	+ 1055,7	+ 1,7	+ 1298,6	+ 0,01	
	4 37	r.	180,3	- 226,8	+ 17,1	173,9	+ 1083,7	+ 16,0	+ 1341,7	+ 0,09	
	5 27	r.		- 205,7	+ 17,1		+ 1113,7	+ 16,0	+ 1320,6	+ 0,09	
	6 9	f. r.		- 191,6	+ 28,8		+ 1136,6	+ 26,7	+ 1330,0	+ 0,15	
19. Mai	3 47	schw. unr.	9,62913	- 9,5	- 0,3	9,86050	- 57,9	- 0,9	- 47,8	- 0,01	
	4 37	f. r.	72,4	- 6,4	+ 0,3	123,0	- 53,6	+ 0,8	- 47,7	+ 0,01	
	5 27	r.		+ 0,3	+ 2,7		- 49,2	+ 8,0	- 54,8	+ 0,09	

*

Datum	Zeit	Zustand der Bilder	$\log D \sin 1''$ und C	Erhebung über β_n^n in Zollen	Refraktion in Zollen	$\log D \sin 1''$ und C	Erhebung über β_n^n in Zollen	Refraktion in Zollen	Relative Erhebung $P^n + P^n - P^n$	Mittel mit dem gehörigen Gewichte	Erhebung über dem Asowschen Meere	Angenommener Refr. Coeff.
P^{52}												
1837												
18. Juni	3 ^h 47'	f. r.	9,95370	+ 1087,5	+ 1,4	9,87739	+ 4641,1	+ 0,9	+ 3554,4	+ 0,01		
	4 37	r.	158,8	+ 1096,1	+ 12,3	127,6	+ 4644,6	+ 8,5	+ 3552,0	+ 0,09		
	5 27	r.	+ 1102,7	+ 12,3		+ 4646,6	+ 8,5	+ 3547,5	+ 0,09			
P^{53}												
19. Juni	4 37	schw. unr.	9,04560	- 35,9	0,0	9,19835	+ 1472,9	- 0,1	+ 1508,9	- 0,01		
	5 27	r.	48,8	- 35,9	+ 0,2	26,7	+ 1472,6	+ 0,3	+ 1508,4	+ 0,09		
P^{54}												
20. Juni	4 37	unr.	9,93853	+ 4747,8	- 4,4	9,87534	- 1520,7	- 2,8	- 6269,8	- 0,03		
	5 27	r.	153,7	+ 4758,9	+ 12,5	126,9	- 1516,4	+ 8,5	- 6271,2	+ 0,09		
	6 9	r.	+ 4761,4	+ 12,5		- 1508,5	+ 8,5	- 6265,5	+ 0,09			
P^{55}												
21. Juni	3 47	unr.	9,93824	+ 512,2	- 3,7	9,88940	+ 874,9	- 3,0	+ 362,0	- 0,03		
	4 37	f. r.	146,8	+ 517,6	+ 1,2	134,2	+ 886,1	+ 1,0	+ 368,6	+ 0,01		
	5 27	r.	+ 527,4	+ 11,3		+ 900,7	+ 9,1	+ 375,5	+ 0,09			
P^{56}												
23. Juni	4 37	st. unr. — f. r.	9,48051	- 30,8	- 1,8	9,91860	- 816,7	+ 1,1	- 788,8	- 0,12	+ 0,01	
	5 27	f. r.	51,2	- 19,8	+ 0,1	140,4	- 811,7	+ 1,4	- 792,8	+ 0,01		
	6 9	r.		- 17,3	+ 1,3		- 806,8	+ 10,3	- 798,5	+ 0,09		
P^{57}												
24. Juni	4 37	f. r. — st. unr.	9,87980	- 282,3	+ 1,0	9,87636	+ 1527,6	- 11,3	+ 1822,2	+ 0,01	- 0,42	
	5 27	r. — f. r.	128,4	- 284,8	+ 8,6	127,5	+ 1542,4	+ 0,8	+ 1834,7	+ 1835,4	+ 0,09	+ 0,01
	6 9	r.	+ 284,0	+ 8,6		+ 1554,0	+ 8,4	+ 1838,2	+ 0,09			

Datum	Zeit	Zustand der Bilder	$\log D \sin 1''$ und C	Refraction in Zollen	$\log D \sin 1''$ über β^n und C	Refraction in Zollen	$\log D \sin 1''$ über β^n in Zollen	Refraction in Zollen	Erhebung über β^n in Zollen	Erhebung über β^n in Zollen	Mittel mit dem gehörigen Gewicht	Erhebung über den Asowschen Meere	Angenommener Refr. Coeff.	
1837														
25. Juni	3 ^h 47'	schw. unr.	9,80434	- 1319,0	- 0,6	0,02084	+ 7144,4	- 1,8	+ 8464,4	- 0,01				
	4 37	f. r.	107,8	- 1310,6	+ 0,6	177,7	+ 7154,1	+ 1,8	+ 8460,5	+ 0,01				
	5 27	r.		- 1309,0	+ 6,0		+ 7149,3	+ 16,6	+ 8447,7	+ 0,09				
26. Juni	3 47	f. r. — st. unr.	9,81915	+ 1636,4	+ 0,7	9,87701	+ 1346,4	- 14,5	- 278,1	+ 0,01	- 0,12			
	4 37	schw. unr.-f.r.	111,8	+ 1626,0	- 0,7	127,7	+ 1346,0	+ 1,0	- 281,7	- 0,01	+ 0,01			
	5 27	r.		+ 1607,2	+ 6,6		+ 1336,3	+ 8,5	- 272,8	+ 0,09				
28. Juni	4 37	f. r.	9,91127	+ 3575,9	+ 1,1	9,85017	+ 2296,7	+ 0,9	- 1279,0	+ 0,01				
	5 27	r.	138,3	+ 3580,5	+ 9,9	120,4	+ 2296,3	+ 7,5	- 1281,8	- 1278,6	20435,6	+ 0,09		
	5 58	r.		+ 3584,7	+ 9,9		+ 2307,0	+ 7,5	- 1275,3	+ 0,09				
30. Juni	3 47	unr.	9,73094	+ 6473,4	- 1,4	9,76480	- 575,1	- 1,7	- 7048,2	- 0,03				
	4 37	f. r.	91,3	+ 6475,5	+ 0,5	98,7	- 572,9	+ 0,6	- 7048,5	- 7048,7	13386,9	+ 0,01		
	5 27	r.		+ 6480,3	+ 4,3		- 577,8	+ 5,1	- 7048,9	+ 0,09				
1. Juli	6 0	r.	9,84568	- 2418,1	+ 7,4	9,63294	+ 466,2	+ 2,7	+ 2889,0	+ 2889,0	16275,9	+ 0,09		
			118,9			72,8								
2. Juli	3 47	r.	0,04520	+ 400,0	+ 18,8	9,80020	+ 271,0	+ 6,0	- 116,2	- 117,5	16153,4	+ 0,09		
	4 37	r.	188,2	+ 402,1	+ 18,8	106,9	+ 267,5	+ 6,0	- 121,8	- 126,6	+ 0,09	+ 0,09		
	5 27	r.		+ 404,0	+ 18,8		+ 276,6	+ 6,0	- 114,6	- 117,5	16153,4	+ 0,09		

Datum	Zeit	Zustand der Bilder	$\log D \sin 1''$ und C	Erhebung über β''_n in Zollen	$\log D \sin 1''$ und C	Refraction in Zollen	$\log D \sin 1''$ und C	Erhebung über β''_n in Zollen	Refraktion in Zollen	Mittel mit dem gehörigen Gewichte	Erhebung über dem Asowischen Meere	Angenommener Relr. Coeff.
1837												
10. Juli	4 37'	f. r.	9,66675	+ 1448,3	+ 0,3	0,08124	- 3724,9	+ 2,5	- 5175,4	+ 0,01		
	5 27	f. r.	78,0	+ 1449,3	+ 0,3	204,"	- 3729,2	+ 2,5	- 5180,7	+ 0,01		
	6 9	r.		+ 1461,2	+ 3,2	- 3710,7	+ 22,2	- 5190,9		+ 0,09		
10. Aug.	4 37	f. r.	9,65834	+ 4427	+ 0,3	9,65750	+ 1556,9	+ 0,3	+ 1114,2	+ 0,01		
	5 27	r.	77,2	+ 4514	+ 3,2	77,0	+ 1560,4	+ 3,2	+ 1109,0	+ 0,09		
	6 9	umr.		+ 4649	+ 7,0	+ 1571,1	+ 7,0	+ 1106,2		+ 0,20		
12. Aug.	5 27	f. r.	9,91242	+ 582,8	+ 1,1	0,04991	+ 1505,2	+ 2,1	+ 921,4	+ 0,01		
	6 9	f. r.	138,4	+ 592,9	+ 16,9	190,0	+ 1547,2	+ 31,9	+ 939,3	+ 0,15		
13. Aug.	4 37	schw. unr.	0,07640	+ 219,9	- 2,4	0,10875	+ 1254,9	- 2,8	+ 1033,4	- 0,01		
	5 27	f. r.	202 3	+ 230,9	+ 2,4	217,8	+ 1266,7	+ 2,8	+ 1035,4	+ 0,01		
	6 5	r.		+ 254,8	+ 24,6	+ 1313,4	+ 25,0	+ 1055,2		+ 0,09		
14. Aug.	4 44	unr.	9,71158	+ 441,8	- 1,3	0,12628	- 57,7	- 9,0	- 461,8	- 0,03		
	5 27	f. r. u. r.	87,3	+ 438,4	+ 2,1	226,8	- 31,7	+ 15,0	- 483,0	+ 0,05		
	6 9	f. r.		+ 454,3	+ 6,7	+ 27,9	+ 45,6	- 46,5,2	- 473,9	12897,6	+ 0,15	
15. Aug.	4 37	f. r.	9,66656	+ 333,7	+ 0,3	9,72090	+ 454,2	+ 0,4	+ 120,4	+ 0,01		
	5 27	r.	78,7	+ 346,7	+ 3,2	89,2	+ 455,4	+ 4,1	+ 107,8	+ 0,09		
	5 58	r.		+ 353,9	+ 3,2	+ 458,6	+ 4,1	+ 103,8		+ 0,09		

Datum	Zeit	Zustand der Bilder	$\log D \sin 4''$ und C	Erhebung über β'' in Zollen	Refraction in Zollen	$\log D \sin 4''$ und C	Refraction in Zollen	Erhebung über β'' in Zollen	Refraction in Zollen	Relative Erhebung $P'' + 1 - P'$	Mittel mit dem gehörigen Gewichte	Erhebung über dem Asowschen Meere	Angenommener Refr. Coeff.
1837													
16. Aug.	4 ^h 37'	f. r.	9,97131	+ 1048,1	+ 1,4	9,92850	- 788,9	+ 1,1	- 1836,8			+ 0,01	
	5 27	r.	158'',6	+ 1064,9	+ 13,2	14,3'',7	- 769,6	+ 10,8	- 1832,1	- 1833,4	11172,9	+ 0,09	
	5 58	schw. unv.	+ 1083,2	+ 29,7		- 755,0	+ 23,8		- 1832,3			+ 0,20	
17. Aug.	5 27	f. r.	9,79240	+ 312,0	+ 0,6	9,83730	- 76,6	+ 0,7	- 388,7			+ 0,01	
	6 10	f. r.	105,0	+ 352,5	+ 9,7	116,5	- 46,4	+ 11,9	- 401,1	- 394,9	10778,0	+ 0,15	
19. Aug.	4 37	f. r.	9,72110	+ 465,7	+ 0,4	9,83570	- 178,4	+ 0,8	- 644,5			+ 0,01	
	5 27	r.	89,1	+ 472,7	+ 2,3	116,0	- 160,9	+ 3,9	- 635,9	- 640,0	10138,0	+ 0,05	
	6 0	r.	+ 469,1	+ 4,0		- 167,4	+ 7,0	- 639,5				+ 0,09	
20. Aug.	3 47	r.	9,93251	+ 608,8	+ 11,0	9,78490	- 308,2	+ 5,7	- 911,7			+ 0,09	
	4 37	r.	144,8	+ 607,8	+ 11,0	103,2	- 305,1	+ 5,7	- 907,6	- 910,4	9227,6	+ 0,09	
	5 27	r.	+ 615,2	+ 11,0		- 302,0	+ 5,7	- 911,9				+ 0,09	
21. Aug.	5 27	f. r.	9,79920	+ 443,8	+ 0,6	9,74650	- 219,0	+ 0,5	- 662,7			+ 0,01	
	6 12	r.	106,5	+ 460,3	+ 6,0	94,4	- 208,8	+ 4,7	- 667,8	- 666,1	8564,5	+ 0,09	
22. Aug.	3 47	r.	9,80945	+ 718,0	+ 6,2	9,80070	- 148,2	+ 6,0	- 866,1			+ 0,09	
	4 37	r.	109,2	+ 715,5	+ 6,2	107,0	- 154,4	+ 6,0	- 869,7	- 868,9	7692,6	+ 0,09	
	5 27	r.	+ 720,5	+ 6,2		- 150,7	+ 6,0	- 871,0				+ 0,09	
23. Aug.	5 27	r. — f. r.	9,72415	+ 446,4	+ 4,2	9,74658	+ 10,1	+ 0,5	+ 432,6			+ 0,09	
	6 9	r.	89,7	+ 454,4	+ 4,2	94,4	+ 32,2	+ 4,7	+ 422,7	- 426,9	7265,7	+ 0,09	

Datum	Zeit	Zustand der Bilder	$\log D \sin 1''$ und C	Erhebung über β^n in Zollen	$\log D \sin 1''$ und C	Refraction in Zollen	$\log D \sin 1''$ und C	Erhebung über β^n in Zollen	Refraction in Zollen	$\log D \sin 1''$ und C	Refraction in Zollen	$\log D \sin 1''$ und C	Refraction in Zollen	Mittel mit dem gehörigen Gewicht	Erhebung über dem Asowschen Meere	Angenommener Refr. Coeff.
1837			P^{83}	f. r.	9,80250	+ 269,7	+ 0,6	9,80370	- 32,0	+ 0,6	- 304,7	- 302,2	6963,5	+ 0,01		
24. Aug.	4 ^h 37'			f. r.	107,4	+ 287,6	+ 0,6	107,7	- 29,1	+ 0,6	- 316,7	- 295,2		+ 0,01		
	5 27					+ 286,1	+ 6,0		- 9,1	+ 6,0				+ 0,09		
	6 5			r.												
25. Aug.	5 27		P^{84}	unr.	9,77943	+ 196,8	- 1,8	9,78553	- 186,4	- 1,8	- 383,2	- 381,4	6582,1	- 0,03		
	6 0			r.	101,9	+ 214,3	+ 5,4	103,3	- 166,7	+ 5,4	- 381,0			+ 0,09		
26. Aug.	3 47		P^{85}	r.	9,75680	+ 162,2	+ 4,9	9,74160	- 111,8	+ 4,5	- 273,6			+ 0,09		
	4 37			r.	96,6	+ 155,7	+ 4,9	93,3	- 114,2	+ 4,5	- 269,5			+ 0,09		
	5 27			r.		+ 152,4	+ 4,9		- 112,8	+ 4,5	- 264,8			+ 0,09		
27. Aug.	4 37		P^{86}	f. r.	9,91364	+ 234,9	+ 1,1	9,91365	- 106,5	+ 1,1	- 340,5			+ 0,01		
	5 27			f. r. u. r.	138,6	+ 244,3	+ 5,7	138,7	- 89,6	+ 5,7	- 333,9			+ 0,05		
	6 3			r.		+ 256,1	+ 10,2		- 79,8	+ 10,2	- 335,9			+ 0,09		
28. Aug.	4 37		P^{87}	unr.—st. unr.	9,87994	+ 486,1	- 2,9	9,84435	- 73,1	- 9,9	- 552,2			- 0,03	- 0,12	
	5 27			r.	128,3	+ 492,0	+ 8,6	118,2	- 46,7	+ 7,4	- 537,5			+ 0,09		
	6 0			r.		+ 501,1	+ 8,6		- 16,7	+ 7,4	- 516,6			+ 0,09		
31. Aug.	4 37		P^{88}	f. r.	9,76941	+ 85,7	+ 0,6	9,88171	+ 324,1	+ 0,9	+ 235,1			+ 0,01		
	5 27			r.	99,6	+ 94,2	+ 5,3	128,9	+ 327,5	+ 8,7	+ 229,9			+ 0,09		
	6 0			f. r.		+ 103,1	+ 8,8		+ 336,3	+ 14,7	+ 227,3			+ 0,15		

Datum	Zeit	Zustand der Bilder	$\log D \sin 1''$ und C	Erhebung über β_n' in Zollen	$\log D \sin 1''$ und C	Refraction in Zollen	Erhebung über β_n' in Zollen	Refraction in Zollen	Relative Erhebung $P_n+1 - P_n$	Mittel mit dem gehörigen Gewichte	Erhebung über dem Asowschen Meere	Angenommener Refr. Coeff.
1837												
13. Sept.	4 ^h 37'	unr.	9,70170	+ 124,5	- 1,2	9,75241	+ 184,2	- 1,6	+ 60,1	+ 61,3	3872,2	- 0,03
	5 27	r.	85,1	+ 134,4	+ 3,8	95,7	+ 196,8	+ 4,7	+ 61,6	+ 61,3	3872,2	+ 0,09
14. Sept.	4 37	f. r.	9,76712	- 60,3	+ 0,6	9,82075	+ 103,1	+ 0,7	+ 163,3	+ 162,9	4035,1	+ 0,01
	5 27	f. r.	99,1	- 45,8	+ 8,9	142,1	+ 118,9	+ 11,1	+ 162,5	+ 162,5	4035,1	+ 0,15
15. Sept.	4 37	f. r.	9,55784	+ 501,8	+ 0,2	9,60245	+ 460,9	+ 0,2	- 40,9	- 39,6	3995,5	+ 0,01
	5 27	r.	61,1	+ 505,9	+ 1,9	67,8	+ 467,4	+ 2,4	- 39,0	- 39,6	3995,5	+ 0,09
16. Sept.	3 47	f. r.	9,97010	+ 362,2	+ 1,4	9,71470	- 64,4	+ 0,4	- 425,6	- 425,6	3577,9	+ 0,01
	4 37	r.	158,1	+ 366,6	+ 13,2	87,8	- 57,6	+ 4,1	- 445,1	- 445,1	3577,9	+ 0,09
	5 27	r.		+ 374,8	+ 13,2		- 50,4	+ 4,1	- 446,1	- 446,1	3577,9	+ 0,09
17. Sept.	3 47	r.	9,85520	+ 69,5	+ 7,7	9,81181	+ 30,5	+ 6,2	- 37,6	- 34,9	3543,0	+ 0,09
	4 37	r.	121,5	+ 66,7	+ 7,7	109,8	+ 33,1	+ 6,2	- 32,4	- 34,9	3543,0	+ 0,09
18. Sept.	3 17	r.	9,70774	+ 388,5	+ 3,9	9,68465	+ 313,2	+ 3,4	- 74,8	- 74,1	3468,9	+ 0,09
	4 7	r.	86,4	+ 388,2	+ 3,9	84,9	+ 314,2	+ 3,4	- 73,5	- 74,1	3468,9	+ 0,09
19. Sept.	4 7	r.	0,10910	+ 762,0	+ 24,8	9,92502	+ 140,1	+ 10,7	- 607,8	- 607,8	2861,1	+ 0,09
			217,6			142,4						
21. Sept.	4 7	f. r.	9,39620	+ 118,3	+ 0,1	9,61072	+ 24,5	+ 0,3	- 94,0	- 97,3	2763,8	+ 0,01
	4 57	r.	42,2	+ 122,1	+ 0,8	69,0	+ 24,8	+ 2,4	- 98,9	- 98,9	2763,8	+ 0,09

Datum	Zeit	Zustand der Bilder	$\log D \sin 1''$ und C	Erhebung über β'' in Zöllen	$\log D \sin 1''$ und C	Refraction in Zöllen	$\log D \sin 1''$ und C	Erhebung über β'' in Zöllen	Relative Erhebung $P_{n+1} - P_n$	Mittel mit dem gehörigen Gewichte	Erhebung über dem Asowschen Meere	Angenommener Refr. Coeff.
1837												
22 Sept.	4 ^h 7'	f. r.	9,96760 99,"1	+ 442,2 + 448,7	+ 0,6 + 5,1	9,91831 140,"3	- 36,4 + 10,3	+ 4,1 - 27,9	- 479,4 - 481,8	- 480,9	2282,9	+ 0,01 + 0,09
			P^{104}						P^{105}			
23. Sept.	4 7	unr.	9,69015 82,9	+ 362,6 + 372,5	- 1,2 + 3,7	9,65050 107,5	+ 256,8 - 180,5	- 1,0 + 6,0	- 106,0 - 107,0	- 106,8	2176,1	- 0,03 + 0,09
			P^{105}						P^{106}			
24. Sept.	4 7	r.	9,73305 91,5	+ 351,7 + 356,8	+ 4,3 + 4,3	9 80294 107,5	- 182,8 - 180,5	+ 6,0 + 6,0	- 536,2 - 539,0	- 537,6	1638,5	+ 0,09 + 0,09
			P^{106}						P^{107}			
25. Sept.	3 17	schw. unr.	9,58351 64,9	+ 261,8 + 263,1	- 0,2 + 0,2	9,78100 102,2	- 292,3 - 285,2	- 0,6 + 0,6	- 353,7 - 348,7	- 348,7	1089,8	- 0,01 + 0,01
			P^{107}						P^{108}			
26. Sept.	3 17	schw. unr.	9,45139 47,8	+ 101,3 + 103,0	- 0,1 + 0,6	9,93061 144,2	+ 100,8 + 108,9	- 1,2 + 6,1	+ 0,6 + 0,4	- 353,7	1089,0	- 0,01 + 0,05 + 0,09
			P^{108}						P^{109}			
27. Sept.	3 17	f. r. und r.	47,8 r.	+ 106,1	+ 1,1	103,3 + 113,5	+ 107,2	+ 3,1 + 5,6	- 0,8 - 2,4	- 586,0 - 586,4	502,6	- 0,01 + 0,05 + 0,09
			P^{109}						P^{110}			
28. Sept.	3 17	f. r. - schw. unr.	9,84360 118,0	+ 465,7 + 472,3	- 0,8 + 4,0	9,78545 103,3	- 121,9 - 114,6	- 0,6 + 3,1	- 587,6 - 586,0	- 586,4	502,6	- 0,01 + 0,05 + 0,15
			P^{110}						P^{111}			

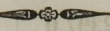
Datum	Zeit	Zustand der Bilder	$\log D \sin A''$ und C	Erhebung über β^n in Zollen	Refraction und C	$\log D \sin A''$ und C	Erhebung über β^n in Zollen	Refraction in Zollen	Erhebung über β^n in Zollen	Refraction in Zollen	Mittel mit dem gehörigen Gewichte	Erhebung über dem Asowschen Meere	Angenommener Refr. Coeff.	
1837														
29. Sept.	3 ^h 17'	r.	9,91942	+ 269,1	+ 10,4	0,01533	+ 77,4	+ 16,2	- 197,4	- 194,1	+ 0,8	+ 86,6	+ 0,09	
	4 7	r.	140,6	+ 273,3	+ 10,4	175,3	+ 84,1	+ 16,2	- 195,0	- 194,0	+ 7,4	+ 83,4	+ 0,09	
	4 57	f. r.		+ 278,6	+ 17,4	+ 103,3	+ 27,4	+ 27,4	- 185,0	- 185,0	+ 12,5	+ 82,5	+ 0,15	
30. Sept.	3 17	f. r.	0,01275	+ 224,4	+ 1,7	9,90544	+ 60,6	+ 1,0	- 160,4	- 160,4	+ 0,01	+ 0,01		
	4 7	r.	174,3	+ 232,2	+ 16,4	136,1	+ 65,4	+ 9,7	- 160,7	- 160,5	+ 0,09	+ 0,09		
	4 57	f. r.		+ 259,5	+ 26,9	+ 259,5	+ 88,5	+ 16,4	- 160,5	- 142,6	+ 0,45	+ 0,45		
14. Oct.	3 47	f. r.	9,73916	+ 120,4	+ 0,5	9,79042	+ 31,4	+ 0,6	- 89,4	- 89,4	+ 0,01	+ 0,01		
	4 37	r.	92,6	+ 128,8	+ 4,5	104,8	+ 38,5	+ 5,7	- 91,5	- 90,7	+ 0,09	+ 0,09		
15. Oct.	3 47	f. r. u. r.	9,91806	+ 132,5	+ 5,8	0,42583	+ 150,6	+ 15,0	+ 8,9	+ 10,2	+ 223,1	+ 0,05	+ 0,05	
	4 37	r.	140,3	+ 140,5	+ 10,4	226,2	+ 168,3	+ 27,0	+ 11,2	- 233,3	- 233,3	+ 0,09	+ 0,09	
16. Oct.	2 57	f. r.	9,89883	+ 177,5	+ 1,0	9,80575	+ 99,9	+ 0,7	- 77,3	- 77,3	+ 0,01	+ 0,01		
	3 47	r.	134,5	+ 187,7	+ 9,6	108,5	+ 109,4	+ 6,2	- 74,9	- 74,9	+ 0,09	+ 0,09		
	4 37	r.		+ 197,8	+ 9,6	+ 114,8	+ 6,2	+ 6,2	- 79,5	- 79,5	+ 0,09	+ 0,09		
17. Oct.	2 58	unr.	9,98470	+ 165,8	- 4,6	9,89024	- 26,7	- 3,0	- 194,1	- 194,1	- 0,03	- 0,03		
	3 47	r.	163,6	+ 192,1	+ 14,0	131,6	- 6,1	+ 9,1	- 193,2	- 192,2	- 492,5	+ 0,09	+ 0,09	
	4 37	f. r.		+ 204,1	+ 23,4	+ 23,4	+ 6,7	+ 15,2	- 189,3	- 189,3	+ 12,5	+ 82,5	+ 0,15	
18. Oct.	3 0	f. r.	9,93651	+ 51,4	+ 1,1	9,84705	+ 137,4	+ 0,8	+ 86,6	+ 86,6	+ 0,01	+ 0,01		
	3 47	r.	146,4	+ 62,4	+ 11,2	119,1	+ 141,9	+ 7,4	+ 83,4	+ 83,4	+ 0,09	+ 0,09		
	4 37	f. r.		+ 76,7	+ 19,0	+ 152,7	+ 12,5	+ 12,5	+ 82,5	+ 82,5	+ 0,15	+ 0,15		

Erhebung über dem Asowschen Meere einiger fester Punkte der Operationslinie.

$\log D \sin 1''$ und C	Erhebung über β^n in Zollen	Refraction in Zollen	$\log D \sin 1''$ und C	Erhebung über β^n in Zollen	Refraction in Zollen	Relative Erhebung	Mittel mit dem gehörigen Gewichte	Erhebung über dem Asowschen Meere	Refr. Coeff.
$K =$ Kagalnik, steinerne Dorfkirche, Kreuzspitze									
9,19657	+ 41,9	+ 0,3	9,29435	+ 2021,7	+ 0,5	+ 1979,6	+ 1979,8	2125,8	+ 0,08
26,7	+ 41,5	+ 0,3	33,4	+ 2021,7	+ 0,5	+ 1980,0			
$P 1$ (von b^1 aus)									
$K =$ Novo-Nicolaewka Kirche Kuppel Kreuzspitze									
9,7284	+ 878,2	+ 1,0	9,8784	+ 1092,4	+ 1,9	+ 213,3	+ 213,3	1896,4	+ 0,04
90,7									
$P 5$ (von b^5 aus)									
$K =$ Novo-Bataisk Kirche Kuppel Kreuzspitze									
9,9450	+ 815,6	+ 11,9	9,1108	+ 537,2	+ 0,2	- 266,7	- 266,7	1403,3	+ 0,09
149,3			21,9						
$P 7$ (von b^7 aus)									
$K =$ Kagalnitzkaja Stanitsa Kirche Kuppel Kreuzspitze									
9,5740	+ 1124,4	- 0,7	9,4894	- 248,4	- 0,5	- 1373,0	- 1374,4	1866,8	- 0,03
63,6	+ 1125,1	+ 2,0	52,3	- 246,9	+ 1,4	- 1374,8			+ 0,09
$P 10$ (von b^{10} aus)									
$K =$ Pestschanokopsk Kirche, Glockenturm Kugel									
9,8500	+ 316,2	+ 7,4	9,8597	+ 71,9	+ 7,9	- 244,8	- 243,5	4380,8	+ 0,09
119,9	+ 329,0	+ 17,0	122,8	+ 88,7	+ 17,7	- 241,0			+ 0,20
$P 21$ (von b^{20} aus)									
$K =$ Novo-Egorlik, Kirche Kuppel Kugel unter dem Kreuz									
9,7985	- 344,5	+ 6,0	9,6355	+ 46,6	+ 2,8	+ 394,3	- 393,8	3894,0	+ 0,09
106,6	- 343,7	+ 6,0	73,3	+ 46,4	+ 2,8	+ 393,3			+ 0,09
$P 28$ (von b^{27} aus)									
$K =$ Letnitzkoe Kirche Kuppel Kugel, unterer Rand									
9,7090	+ 134,5	+ 4,0	9,3617	+ 294,3	+ 0,7	+ 163,1	+ 161,4	2523,6	+ 0,09
86,8	+ 139,1	+ 4,0	39,1	+ 295,5	+ 0,7	+ 159,7			+ 0,09
$P 32$ (von b^{31} aus)									
$K =$ Novotroitzk Kirche Kuppel Kugel									
0,0480	+ 230,9	+ 2,1	9,8089	- 351,7	+ 0,7	- 581,2	- 578,1	6344,1	+ 0,01
189,4	+ 242,3	+ 18,9	109,1	- 346,9	+ 6,3	- 576,6			+ 0,09
$P 41$ (von b^{40} aus)									
$K =$ Stawropol Cathedrale Kuppel Kreuzknopf									
9,8153	+ 3085,0	+ 6,5	9,8287	+ 2397,0	+ 6,8	- 688,3	- 688,3	21624,7	+ 0,09
110,9			114,3						

$\log D \sin 1''$ und C	Erhebung über β^n in Zollen	Refraction in Zollen	$\log D \sin 1''$ und C	Erhebung über β^n in Zollen	Refraction in Zollen	Relative Erhebung	Mittel mit dem gehörigen Gewichte	Erhebung über dem Asowschen Meere	Refr. Coeff.
<i>P 53</i> (von b^{52} aus)					<i>K</i> = Beschpagir Kirche Kuppel kleine Kugel unter dem Kreutz				
9,8774 127,6	+ 4641,1	+ 0,9	9,7832 102,9	+ 2068,5	+ 0,6	- 2572,3	- 2572,3	14312,6	+ 0,01
<i>P 63</i> (von b^{62} aus)					<i>K</i> = Alexandrow Kirche Hauptthurm vergoldete Kugel				
9,6329 72,8	+ 466,2	+ 2,7	9,6493 75,7	- 3212,5	+ 2,9	- 3678,9	- 3678,9	12597,0	+ 0,09
<i>B 70</i> (von p^{71} aus)					<i>K</i> = Alexandria Kirche Kuppel Querstange des Kreuzes				
0,0812 204,4	+ 3688,6	+ 19,6	9,8116 109,8	+ 506,8	+ 5,6	- 3167,8	- 3169,4	10847,0	+ 0,08
<i>P 84</i> (von b^{83} aus)					<i>K</i> = Ekaterinograd Kirche Kuppel Fuss des Kreuzes				
9,8037 107,7	- 29,1	+ 0,6	9,4941 52,9	+ 726,4	+ 1,5	+ 754,6	+ 754,6	7718,1	+ 0,01
<i>P 89</i> (von b^{88} aus)					<i>K</i> = Mosdok Cathedrale Kuppel Knopf am Fusse des Kreuzes				
9,8817 128,9	+ 321,1	+ 0,9	9,7007 85,2	+ 356,6	+ 0,4	+ 36,0	+ 36,0	5713,6	+ 0,01
<i>P 97</i> (von b^{96} aus)					<i>K</i> = Naur Kirche Kuppel Kugel unter dem Kreutze				
9,7524 95,7	+ 184,2	- 1,6	9,9284 143,9	+ 262,9	- 3,6	+ 80,7	+ 80,7	3952,9	- 0,03
<i>P 115</i> (von b^{114} aus)					<i>K</i> = Kisljar Armenische Cathedrale Kugel unter dem Kreutze				
0,1258 226,2	+ 150,6	+ 15,0	0,56046 616,9	+ 1802,1	+ 112,0	+ 1554,5	+ 1554,5	1331,4	+ 0,05
<i>P 123</i> (von p^{124} aus)					<i>B</i> = Tschernoi Rynok Herrnhaus Belvedere Dach				
0,22634 285,0	+ 338,0	+ 33,7	0,01200 173,9	+ 448,8	+ 12,3	+ 132,2			+ 0,07
	+ 314,0	+ 12,5		+ 443,1	+ 4,5	+ 137,1	+ 132,0	- 303,8	+ 0,026
	+ 353,4	+ 43,0		+ 456,4	+ 15,9	+ 130,1			+ 0,09
Erboden am Hause = 585 Zoll unter <i>B</i>								- 888,8	

A = Sämtliche Cörper des Kuppels. K = Kubus des Kreisepipole



V. Endresultat aus allen Beobachtungen, für den wahrscheinlichsten Niveau-^{IV}
Unterschied des Caspischen und Asowschen Meeres.

Es bleibt uns nur noch übrig das wahrscheinlichste Endresultat für die Depression des Caspischen Meeres aus dem Complexe unserer sämtlichen Beobachtungen zu ziehen. Das Resultat aus den gegenseitigen Zenithdistanzen darf nach den Bemerkungen pag. 319 hiebei nicht mitstimmen. Die wahrscheinlichen Fehler der übrigen von einander gänzlich unabhängigen Endresultate sind pag. 318 und 346 untersucht. Folgendes ist also ihre Zusammenstellung:

	E. Fuss	w. F.	Gew.
Depression des Caspischen Meeres nach Sabler (Reihe β)	= 83,95	1,63	0,376
“ “ (Reihe P)	= 83,00	2,19	0,209
“ Sawitsch	= 83,2	5,2	0,040
“ Fuss	= 85,0	5,2	0,040
Mittel aus allen mit Berücksichtigung der resp. Gewichte	= 83,67	1,23	0,665

Es lag also das mittlere Niveau des Caspischen Meeres im Jahre 1837 tiefer als das mittlere Niveau des Asowschen:

**83,67 Englische Fuss oder 13,09 Toisen,
mit einer wahrscheinlichen Unsicherheit von:
 $\pm 1,23$ Engl. Fuss.**